

- [2] Бишофф Л. // ФТП. 1985. Т. 19. В. 2. С. 2118-2121.
- [3] Афанасьева Н.П., Строкан Н.Б., Вербическая Е.М., Шокина Е.В., Еремин В.К. Препринт ЛИЯФ АН СССР, № 1187. Л.: 1986. 29 с.
- [4] Заблоцкий В.В., Иванов Н.А., Космач В.Я., Леонов Н.Н., Остроумов В.И. // ФТП. 1986. Т. 20. В. 4. С. 625-628.
- [5] Von Ammon W., Herzer H. // Nucl. Instrum. and Meth. Phys. Res. 1984. V. A226. N 1. P. 94-100.
- [6] Kovalev B.P. Вторичные излучения ускорителей электронов. М.: Атомиздат, 1979. 198 с.
- [7] Заблоцкий В.В., Иванов Н.А., Лашаев С.И., Соловьев С.М. Тезисы докладов XXXУШ Совещания по ядерной спектроскопии и структуре атомного ядра. Баку: 1988. С. 548.

Поступило в Редакцию  
18 декабря 1988 г.

Письма в ЖТФ, том 15, вып. 6  
06.3; 07; 12

26 марта 1989 г.

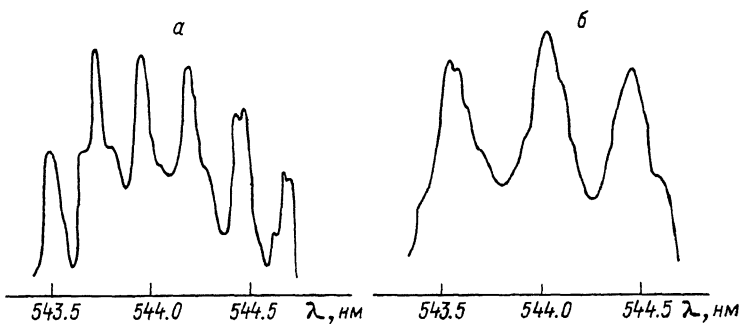
## ИЗМЕРЕНИЕ ПИКОСЕКУНДНЫХ ВРЕМЕННЫХ ЗАДЕРЖЕК В МАЛОМОДОВЫХ ОПТИЧЕСКИХ ВОЛОКНАХ

О.С. Вавилова, В.И. Малюгин

Широко используемые в настоящее время методы определения дисперсионных характеристик оптических волокон (ОВ) сталкиваются с трудностями измерения очень малых временных задержек [1]. В этой связи представляют интерес чисто оптические методы, которые позволяют получить высокое временное разрешение порядка 0.03 пс на коротких образцах ОВ, но предполагают использование сложной оптической интерферометрической схемы с последующим восстановлением импульсного отклика голограммическим способом [2].

Предлагаемый в нашей работе метод измерения отличается тем, что исследуемое ОВ рассматривается как одноплечевой интерферометр, в котором функцию опорного пучка выполняет одна из модовых групп, распространяющихся в ОВ [3]. В основе метода лежит явление интерференции в спектральной области, когда разность хода между световыми пучками  $\Delta t$  превышает длину когерентности источника излучения  $\tau_k$ . В этом случае интерференционная картина отсутствует, но спектральная плотность суммарного сигнала  $g(\omega)$  может быть записана в виде

$$g(\omega) = g_{11}(\omega) [1 + K \cdot \cos \Delta t]$$



Спектрограммы излучения на выходе двухмодового ОВ длиной  $Z = 2.45$  м (а) и  $Z = 1.25$  м (б).

и испытывает биения с глубиной модуляции  $K = (\sqrt{\langle J_1 \rangle \langle J_2 \rangle} / \langle J_1 \rangle + \langle J_2 \rangle) \times \chi_{12}(0)$ , где  $\langle J_1 \rangle$  и  $\langle J_2 \rangle$  – усредненные по времени интенсивности сигналов со спектральными плотностями  $g_{11}(\omega) = g_{22}(\omega)$ ;  $\chi_{12}(0)$  – функция корреляции полного сигнала [4]. Период спектральной модуляции  $\Delta \lambda_M$ , равный расстоянию между соседними максимумами на спектрограмме, определяется изменением разности фаз сигнала на  $2\pi$  и равен

$$\Delta \lambda_M = \lambda^2 / \Delta = \lambda^2 \cdot n / c \cdot \Delta t,$$

где  $\Delta$  – оптическая разность хода сигналов, распространяющихся в среде с показателем преломления  $n$ ,  $c$  – скорость света в вакууме.

Применение указанного принципа к ОВ означает, что условие  $\Delta t > \tau_K$  может быть выполнено для очень малых временных задержек между модовыми группами на коротких образцах ОВ, если использовать источник с достаточно широким спектром излучения. Для ОВ длиной  $Z$  набег фаз для модовых групп, имеющих разницу постоянных распространения  $\Delta \beta$ , составит  $\Delta \beta \cdot Z = 2\pi \Delta / \lambda$  и

$$\Delta \lambda_M = 2\pi \cdot \lambda / \Delta \beta \cdot Z.$$

Для экспериментального наблюдения спектральной модуляции необходимо, чтобы ширина полосы излучения источника  $\Delta \lambda$ , по крайней мере, превышала  $\Delta \lambda_M$ . Предельное значение  $\Delta \lambda_M$ , которое можно измерить, определяется разрешающей способностью спектрального прибора и может составлять сотые доли нанометра. В свою очередь, как видно из формулы, величина  $\Delta \lambda_M$  зависит от длины выбранного образца ОВ.

В экспериментах применялись различные источники излучения: ВКР – преобразователь света на ОВ [5], полупроводниковые лазеры, светодиоды и тепловые источники, отличающиеся степенью когерентности излучения и позволившие провести исследования в широком спектральном диапазоне длин волн  $\lambda = 0.5-1$  мкм. Спектр

сигнала с выхода ОВ регистрировался на выходе монохроматора МДР-23. На рисунке приведены образцы спектрограмм для ОВ в двухмодовом режиме в диапазоне  $\lambda = 544$  нм на образцах длиной  $L = 2.45$  м (а) и  $L = 1.25$  м (б). Период спектральной модуляции в этих случаях составил 0.24 и 0.47 нм соответственно, временные задержки в приходе двух модовых групп - 3.1 и 6.0 пс, разница постоянных распространения  $A\beta = 58$  см<sup>-1</sup>.

Следует отметить, что измерение разницы постоянных распространения модовых групп в ОВ и временных задержек позволяет получить информацию о межмодовой и поляризационной дисперсии ОВ, модовом составе излучения и связи мод. К достоинствам предлагаемого метода следует отнести простоту практической реализации и высокую точность измерений временных задержек порядка 0.1 пс.

#### Список литературы

- [1] Бабкина Т.В., Григорьянц В.В., Смирнов В.Б. // КЭ. 1984. Т. 11. С. 1899.
- [2] Piasecki J., Solombeau B., Vamrouille M., Froehly C., Argaud J.A. // Appl. Opt. 1980. V. 19. P. 3749.
- [3] Авторское свидетельство № 1387694.
- [4] Скроцкий Г.В. Материалы У1 Всесоюз. школы по голографии. Л., 1974.
- [5] Бутусов М.М., Вавилова О.С., Малюгин В.И. // Изв. вузов. Радиоэлектроника. 1984. Т. 27. С. 89.

Ленинградский  
политехнический институт  
им. М.И. Калинина

Поступило в Редакцию  
1 января 1989 г.

Письма в ЖТФ, том 15, вып. 6  
05.2; 12

26 марта 1989 г.

#### О ВОЗМОЖНОСТИ ПОВЫШЕНИЯ ЭНЕРГИИ ПОСТОЯННЫХ МАГНИТОВ

И.И. Крюков, Н.А. Манаков,  
В.Б. Садков, К.С. Сахаев

Эффективность материалов для постоянных магнитов определяется максимальным значением энергетического произведения  $(BH)_{\max}$ . Теоретический предел этой величины, равный  $(2\pi M)^2$ , достигается, если остаточная намагниченность в полях  $|H| \leq 2\pi M$  равна намагниченности насыщения ( $M$ ). В известных сплавах для постоянных